

# خون

فصلنامه علمی پژوهشی

دوره ۱۰ شماره ۴ زمستان ۹۲ (۳۵۲-۳۶۳)

مقاله پژوهشی

## تکثیر سلول‌های بنیادی خونساز $CD34^+$ بند ناف در همکشتی با سلول‌های TEPA بنیادی مزانشیمی مغز استخوان در حضور

ناصر امیری‌زاده<sup>۱</sup>، فرهاد ذاکر<sup>۲</sup>، تاهید نصیری<sup>۳</sup>

### چکیده

سابقه و هدف

استفاده از سلول‌های بنیادی خونساز (HSCs)، روش استانداردی جهت درمان بسیاری از بدخیمی‌های خونی و اختلالات غیرخونی محسوب می‌شود. خون بند ناف، دارای مزایای فراوانی نسبت به سایر منابع سلول‌های بنیادی است و یکی از محدودیت‌های مهم این منبع جهت پیوند، تعداد محدود سلول‌های بنیادی آن می‌باشد. از راه کارهای پیشه‌هایی برای غلبه بر این مشکل، تکثیر بدون تمایز این سلول‌ها در محیط‌های کشت است. در این مطالعه از TEPA به عنوان شلاتور مس و سلول‌های بنیادی مزانشیمی مغز استخوان جهت تکثیر UCB-HSCs استفاده شد.

### مواد و روش‌ها

مطالعه انجام شده از نوع کاربردی بود. سلول‌های  $CD34^+$  خون بند ناف با استفاده از آنتی‌بادی‌های نشان‌دار با MACS و ستون Microbead جدا شدند. سپس این سلول‌ها در چهار شرایط کشت مختلف شامل: ۱) محیط حاوی سایتوکاین (۲) محیط دارای فیدر و سایتوکاین (۳) محیط دارای TEPA و سایتوکاین و (۴) محیط دارای فیدر، سایتوکاین و TEPA کشت داده شدند. به منظور ارزیابی تکثیر HSCs، از شمارش سلولی، تعیین درصد سلول‌های  $CD34^+$  به روش فلوسایتمتری و روش سنجش کلونی در روز ۱۰ تکثیر استفاده شد.

### یافته‌ها

بیشترین میزان چند برابر شدن تعداد سلول‌های  $CD34^+$  TNC، CD45، CFU-C در شرایط کشت چهارم (به ترتیب  $15/3 \pm 15/11$ ،  $110/11 \pm 21/78$ ،  $118/5 \pm 44/7$  و  $172/9 \pm 44/7$  برابر) در مقایسه با سایر شرایط مشاهده شد.

### نتیجه گیری

نتایج بررسی نشان داد که همکشتی HSCs با سلول‌های بنیادی مزانشیمی در حضور عامل شلاته‌کننده مس (TEPA)، قادر است میزان تکثیر UCB-HSCs را به طور قابل توجهی افزایش دهد. بنابراین، این استراتژی می‌تواند برای تکثیر HSCs مفید واقع شود.

**کلمات کلیدی:** سلول‌های بنیادی خونساز، سلول‌های بنیادی مزانشیمی، TEPA

تاریخ دریافت: ۹۱/۱۱/۴

تاریخ پذیرش: ۹۲/۱/۲۱

۱- PhD هماتولوژی و بانک خون - استادیار مرکز تحقیقات انتقال خون - مؤسسه عالی آموزشی و پژوهشی طب انتقال خون - تهران - ایران  
۲- PhD هماتولوژی - استاد دانشکده پرآپزشکی - مرکز تحقیقات سلولی و مولکولی دانشگاه علوم پزشکی ایران - تهران - ایران  
۳- مؤلف مسؤول: کارشناس ارشد هماتولوژی - دانشکده پرآپزشکی دانشگاه علوم پزشکی تهران - تهران - ایران - صندوق پستی: ۱۴۱۵۵-۶۱۸۳

از مطالعه‌ها، اثرات سینرژیستیکی با استفاده از سایتوکاین‌های نوترکیب و لایه فیدر مشتق از سلول‌های بنیادی مزانشیمی (MSCs) در تکثیر و تمایز HSCs گزارش شده است (۱۵-۲۱). راهکار دیگری که اخیراً جهت تکثیر بدون تمایز سلول‌های بنیادی خونساز در شرایط *in vitro* به کار گرفته شده است، استفاده از شلاتور مس (TEPA) همراه با سایتوکاین‌های Early acting از جمله TPO، SCF، FL و TGF- $\beta$  است. از دیدار تکثیر سلول‌های پیش‌ساز خونساز (HPCs) و سلول‌های بنیادی خونساز (HSCs) بند ناف می‌باشد. از آن جایی که میزان بالای مس درون سلولی به دلیل نقش آن در تولید رادیکال‌های آزاد اکسیژن توکسیک است، کاهش میزان این رادیکال‌ها جهت حفظ HSCs در مغز استخوان و اریتروپوئز طبیعی ضروری است. عمدۀ مس سلولی به اجزای سلولی از جمله سرولوپلاسمین و آنزیم‌های مختلف متصل است و تنها مقدار کمی از آن به فرم یونیزه و آزاد وجود دارد. فرم یونیزه مس قابلیت اتصال به شلاتورها را دارد که به آن CU می‌گویند (۲۲-۲۷). بدین منظور در این مطالعه تاثیر شلاتور مس بر میزان تکثیر سلول‌های CD34<sup>+</sup> بند ناف در همکشتی با سلول‌های بنیادی مزانشیمی مغز استخوان، به عنوان لایه فیدر، در شرایط مختلف کشت بررسی و مقایسه شد.

## مواد و روش‌ها

### جاداسازی سلول‌های CD34<sup>+</sup>:

در این مطالعه کاربردی، سلول‌ها از خون بند ناف پس از دریافت فرم رضایت‌نامه جدا شدند. ابتدا سلول‌های تک هسته‌ای (MNCs) مربوط به ۵ نمونه خون بند ناف به کمک فایکول (سیگما،  $100\text{ kg/L} \pm 0.077$ ) جدا شد. سپس این سلول‌ها با آنتی CD34 کوتروگه شده با ذرات میکروپید (آمریکا، میلتونی بیوتک) انکوئه گردیده و در نهایت با استفاده از روش MACS (آمریکا، میلتونی بیوتک)، سلول‌های CD34<sup>+</sup> موجود در بین MNCs با دو بار عبور از ستون LS از سایر سلول‌ها جدا شدند. در نهایت جهت ارزیابی درجه خلوص سلول‌های CD34<sup>+</sup> جدا شده، آنالیز فلوزایتومتری با استفاده از آنتی‌بادی‌های آنتی CD34

**پیوند سلول‌های بنیادی طی دهه‌های اخیر به موفقیت‌های درمانی بالایی رسیده است و یک راهکار درمانی مناسب و عملی برای بسیاری از بیماری‌هایی که در گذشته غیر قابل درمان بودند را به وجود آورده است (۳-۱). ویژگی‌های اصلی سلول‌های بنیادی خونساز (HSCs)، پتانسیل خود نوسازی (self-renewal) و تمایز به انواع مختلف سلول‌های خونی می‌باشد (۴, ۵).**

خون بند ناف (UCB) به دلیل بالا بودن تعداد اهداکنندگان، دسترسی راحت و شیوع کمتر GVHD (بیماری پیوند علیه میزان) علی‌رغم عدم سازگاری کامل HLA، جایگزین مناسبی برای مغز استخوان جهت پیوند سلول‌های بنیادی خونساز می‌باشد (۶). صرف نظر از این مزایا، محدودیت عمدۀ خون بند ناف تعداد کم HSCs موجود در آن جهت پیوند به بیماران بزرگسال است.

سرعت پیوند به تعداد سلول‌های بنیادی CD34<sup>+</sup> خون بند ناف بستگی دارد. دوز مطلوب جهت انجام پیوند در بزرگسالان بیشتر یا مساوی  $2/5 \times 10^6$  CD34<sup>+</sup> cell/kg می‌باشد. اگر نمونه خون بند ناف به صورت مناسب جمع‌آوری شود، دارای  $10^7$  سلول CD34<sup>+</sup> خواهد بود که این تعداد تنها جهت استفاده در یک نوزاد کافی می‌باشد. اگر نمونه خون بند ناف به صورت مناسب جمع‌آوری شود، دارای  $10^7$  سلول CD34<sup>+</sup> خواهد بود که این تعداد تنها جهت استفاده در یک نوزاد کافی می‌باشد (۷-۱۲). راهکار پیشنهادی که امروزه بسیار مورد توجه قرار گرفته است، تکثیر HSCs در محیط‌های *ex vivo* می‌باشد. می‌توان این سلول‌ها را در حضور سایتوکاین‌ها در محیط کشت تکثیر نمود اما متأسفانه تکثیر HSCs در آزمایشگاه با مشکلاتی مواجه است زیرا HSCs در *in vitro* در شرایط *in vivo* ناشی از عدم به تدریج توانایی خودسازی و چند قوه‌ای بودن خود را از دست داده و به رده‌های خاصی تمایز می‌یابند (۱۳, ۱۴).

احتمالاً تمایز سلول‌ها در شرایط *in vitro* ناشی از عدم وجود تنظیماتی است که در *in vivo* توسط ریز محیط اعمال می‌شود. در مغز استخوان HSCs عمدها در تعامل با ریز محیط ویژه‌ای به نام نیچ قرار دارند که سرنوشت سلول‌ها را از نظر خاموشی (quiescence)، خودنوسازی و تمایز تنظیم می‌کند. مطالعه‌های اخیر نشان داده‌اند که تماس مستقیم بین سلول‌های استروممال و HSCs، برای بقا، تنظیم سیکل سلولی، مهاجرت و پیوند مهم می‌باشد. در بسیاری

ارزیابی قرار می‌دهد. با استفاده از روش MTT، اثرات سایوتوكسیک احتمالی TEPA (آمریکا، سیگما) بر روی MSCs در محیط کشت، پس از ۳ روز انکوباسیون تعیین شد. در هر یک از چاهک‌های پلیت ۹۶ خانه‌ای بر روی MSCs، رقت‌های مختلف TEPA اضافه شد (هر رقت به صورت ۳ تایی تکرار شد). سپس پلیت‌ها در دمای ۳۷ درجه سانتی‌گراد و فشار ۵٪ CO<sub>2</sub> انکوبه شدند. پس از اتمام زمان انکوباسیون، محیط کشت‌ها کاملاً خالی گردیده و به هر چاهک محیط کشت جدید و محلول MTT اضافه شد. پس از اتمام زمان انکوباسیون، محیط کشت چاهک‌ها تخلیه شده و با حل کردن بلورهای فورمازان در DMSO (دی‌متیل سولفوكساید)، جذب نوری نمونه‌ها در طول موج ۵۷۰ نانومتر با الیزا ریدر قرائت شد (۳۰).

اندازه‌گیری یون مس: میزان مس سلولی طبق مطالعه‌های گذشته اندازه‌گیری شد. سلول‌ها جمع‌آوری گردیده و با PBS شستشو داده شدند. ۱۰<sup>۶</sup> سلول در لوله اپندورف متال فری ساتریفیوژ گردید. پلیت سلولی با اسید نیتریک اولتر้า پیور M (Mallinckrodt Baker B.V، Deventer، Netherlands) ۰/۰۳ به غلظت  $1 \times 10^{11}$  cell/mL رسانده شد. نمونه‌ها سونیکیت شده و سپس با اتمیک ابزریشن کوره (ژاپن، Shimadzu، G model ۶۷۰) با طول موج ۳۲۴/۷ نانومتر اندازه‌گیری شدند (۲۳).

کشت سلول‌های CD34<sup>+</sup> در شرایط مختلف: سلول‌های CD34<sup>+</sup> جدا شده در شرایط کشت مختلفی با غلظت  $1 \times 10^4$  cell/mL کشت داده شدند. این شرایط کشت عبارت بودند از: ۱) شرایط کشت اول که سلول‌های CD34<sup>+</sup> جدا شده تنها در حضور سایتوکاین‌های نوترکیب شامل؛ Stem Cell Thrombopoietin (FL)، Factor (SCF) و FLt3-Ligand (FL) (آمریکا، سیگما) با غلظت ۱۰۰ ng/mL TPO) کشت داده شدند. جهت هر ۴ شرایط کشت از همین سایتوکاین‌ها با مشخصات ذکر شده و محیط کشت فاقد سرم (Stemspan) استفاده شد. ۲) شرایط کشت دوم که سلول‌های CD34<sup>+</sup> جدا شده در

(آمریکا، بیوساینس) و آنتی CD38 انجام شد. میانگین متوسط سلول‌های CD34<sup>+</sup> حدود ۶۲٪ بود (۲۸).

جداسازی و کشت سلول‌های بنیادی مزانشیمی: MSCs از نمونه آسپیره مغز استخوان اهداکنندگان سالم در ضد انعقاد هپارین جداسازی شد (روضایت‌نامه از آن‌ها گرفته شد). سلول‌های تک هسته‌ای مغز استخوان به وسیله گرادیان شبیغ غاظت فایکول (سیگما، ± ۰/۰۰۱ kg/L) ۱/۰۷۷ جدا شده و پس از شستشو در محیط DMEM (آمریکا، سیگما) Low glucose٪ ۱۰، حاوی FBS٪ ۱۰ کشت داده شدند. پس از ۴۸ ساعت انکوباسیون، سلول‌های غیر چسبنده با تعویض محیط خارج گردیدند.

پس از ۳ پاساژ، سلول‌های چسبنده مزانشیمی از محیط قابل برداشت بودند. فنوتیپ MSCs با استفاده از آنتی‌بادی‌های Copenhagen، داکو) آنتی CD45، CD37، CD166، CD105، CD34 و CD90، CD166، CD37، فلوسایتومتری مورد ارزیابی قرار گرفت. سپس  $1 \times 10^4$  سلول مزانشیمی در پلیت‌های ۶ خانه (Roskilde، دانمارک و Nunc) کشت داده شدند تا به ۸۰٪ از پوشیدگی سطح رسیدند. به منظور جلوگیری از تکثیر بیشتر، سلول‌ها با میتومایسین C تیمار شدند (۱۹).

بررسی پتانسیل تمایزی سلول‌های بنیادی مزانشیمی: هم چنین به منظور تایید این سلول‌ها، تمایز آن‌ها به سمت رده استئوبلاستی با استفاده از محیط تمایزی حاوی ۱۰ mM دگزاماتازون (آمریکا، کمیکون)، ۰/۱ M آسکوربیک اسید، DMEM-Low glucose (آمریکا، سیگما) و ۱ mol گلیسرول دو فسفات (آمریکا، کمیکون) انجام شد. در نهایت سلول‌های استئوبلاست با دو رنگ‌آمیزی اختصاصی آلیزارین رد (آمریکا، سیگما) و آلکالن فسفاتاز (آمریکا، سیگما) مورد تایید قرار گرفتند (۲۹).

بررسی MTT: MTT (3-[4,5-dimethylthiazol-2-yl]-2, 5-diphenyl tetrazolium bromide) روشی است که فعالیت سلول‌های زنده را از طریق دهیدروژنازهای میتوکندریایی مورد

فلوسایتومتری (آلمان، پارتک) درصد سلول‌های CD38<sup>+</sup> CD34<sup>+</sup> ارزیابی شد (۳۳).

#### آنالیز آماری:

تجزیه و تحلیل آماری با استفاده از نرم‌افزار آماری SPSS ۱۶ انجام شد. جهت مقایسه گروه‌های مختلف سلولی و آنالیز نتایج از ANOVA استفاده گردید.  $p < 0.05$  به عنوان معنادار در نظر گرفته شد.

#### یافته‌ها

تایید سلول‌های بنیادی مزانشیمی ایموونوفوتایپ این سلول‌ها با استفاده از آنالیز فلوسایتومتری ارزیابی شد. بیان CD90 ، CD105 ، CD166 و CD37 به ترتیب ۹۶/۸٪، ۹۳٪، ۹۸/۸٪ و ۹۴٪ بود، در حالی که بیان CD34 و CD45 به ترتیب ۲/۸٪ و ۳/۸٪ بود. پس از تحریک MSCs با دگزاماتازون، گلیسرول فسفات، آسکوربیک اسید و ۱۰٪ FBS، پتانسیل تمایزی این سلول‌ها به استئوبلاست‌ها ارزیابی شد. MSCs در روز ۱۷ کشت، تمایز استئوژنیک را با افزایش بیان آلکالن فسفاتاز و تشکیل ماتریکس کلسیم خارج سلولی نشان دادند.

#### سنجهش MTT:

این سنجهش نشان داد که TEPA ۱۰ μM مخصوصی بر روی تکثیر سلولی و حیات MSCs ندارد (نمودار ۱).

#### اثر TEPA بر میزان مس:

غالظت مس سلولی پیش از افزودن TEPA در اندازه‌گیری با اتمیک ابزر بشن  $7 \text{ ng}$  در  $10^7$  سلول بود. هنگامی که TEPA به محیط کشت اضافه شد، میزان مس سلولی به  $4 \text{ ng}$  در  $10^7$  سلول کاهش یافت. این نتایج نشان می‌دهند که میزان مس سلولی را می‌توان با افزودن TEPA به محیط کشت کاهش داد.

#### ارزیابی تکثیر در شرایط کشت مختلف:

به منظور تعیین اثرات MSCs و کاهش مس جهت حمایت از تکثیر سلول‌های بنیادی خونساز، چهار وضعیت

همکشتی با MSCs به عنوان لایه فیدر و در حضور سایتوکاین‌ها کشت داده شدند. پس از رسیدن MSCs به

۸۰٪ از پوشیدگی سطح، محیط Stemspan حاوی ترکیب سایتوکاینی فوق به همراه  $10^4$  سلول CD34<sup>+</sup> جدا شده، بر روی لایه فیدر سلول‌های مزانشیمی کشت داده شدند.

۳ شرایط کشت سوم که سلول‌های CD34<sup>+</sup> جدا شده در حضور سایتوکاین‌ها و  $10 \mu\text{M}$  TEPA کشت داده شدند.

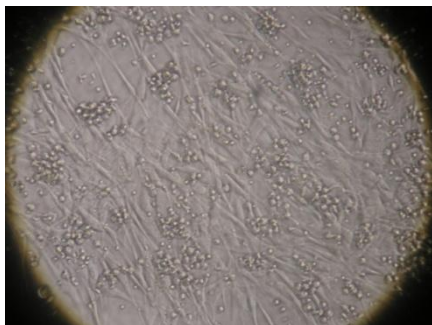
۴ کشت سلول‌ها در محیط چهارم که سلول‌های CD34<sup>+</sup> جدا شده در همکشتی با MSCs به عنوان لایه فیدر و در حضور سایتوکاین‌ها و  $10 \mu\text{M}$  TEPA کشت داده شدند.

تمامی محیط کشت‌ها در انکوباتور ۳۷ درجه سانتی‌گراد و ۵٪  $\text{CO}_2$  انکوبه شدند. تمامی کشت‌ها به صورت سه تایی انجام شده و تعویض محیط در روزهای ۳، ۷ و ۱۰ صورت پذیرفت. قبل از آغاز کشت و پس از تکثیر، تعداد کل سلول‌های هسته‌دار شمارش گردیده و سلول‌ها با فلوسایتومتری جهت مارکر CD34 مورد ارزیابی قرار گرفتند.

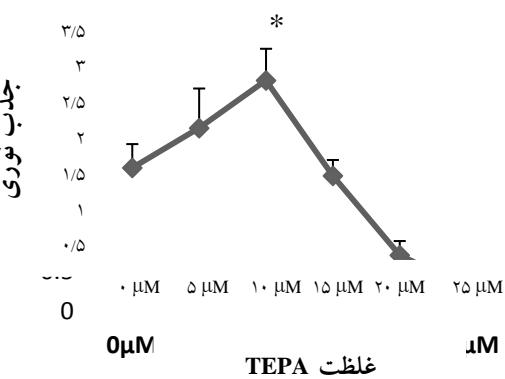
سنجهش کلونی (CFU assay):  $10^3 \times 1$  سلول از سلول‌های CD34<sup>+</sup> جدا شده از بند ناف و هم‌چنین سلول‌های پس از تکثیر در شرایط کشت مختلف در روز ۱۰، با محیط (استم سل تکنولوژی) مخلوط شده و درون پلیت‌های  $35 \text{ mm}$  (دانمارک، Nunc) ریخته شدند. این مرحله به صورت دو تایی انجام شد و پلیت‌ها به مدت ۱۴ روز در دمای ۳۷ درجه سانتی‌گراد و ۵٪  $\text{CO}_2$  انکوبه شدند. پس از این مدت کلونی‌ها به وسیله میکروسکوپ اینورت (ژاپن، نیکون) شمارش و بررسی شدند (۳۱، ۳۲).

آنالیز فلوسایتومتری: سلول‌ها قبل (روز صفر) و بعد از تکثیر در شرایط کشت مختلف در روز ۱۰ برداشته شده و با آنتی‌بادی‌های مونوکلونال (کوپنهایگ، داکو، دانمارک) آنتی-CD34 و FITC-CD38 PE-CD38 رنگ‌آمیزی شدند. از آنتی‌بادی IgG موشی (کوپنهایگ، دانمارک، داکو) به عنوان ایزووتایپ کتلرل استفاده شد. در نهایت به وسیله دستگاه

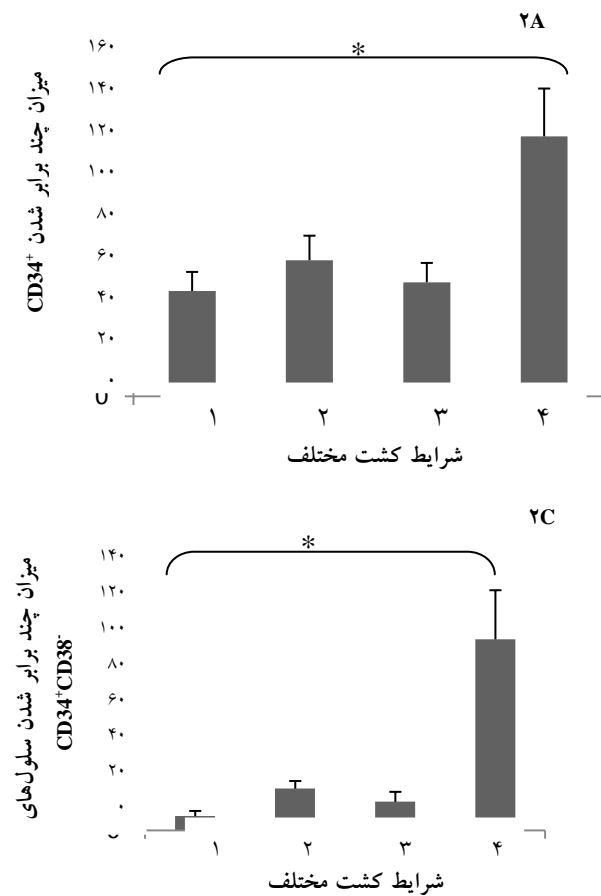
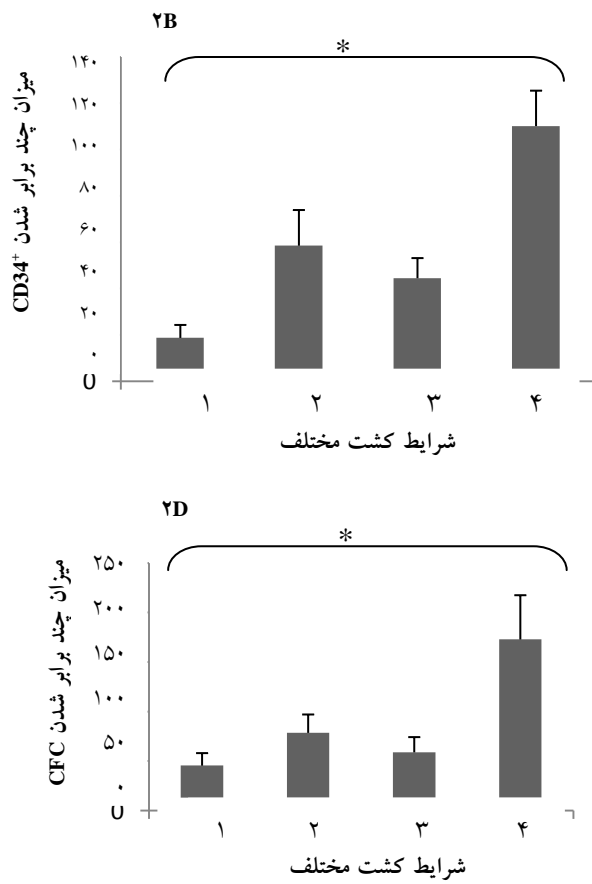
زیر مطرح بود: شرایط کشت اول؛ میانگین میزان چند برابر شدن TNCs، سلول‌های CD34<sup>+</sup> و CFU-C در این شرایط به ترتیب  $48 \pm 8/7$ ،  $18/7 \pm 5/6$  و  $12/7 \pm 4/5$  بود.



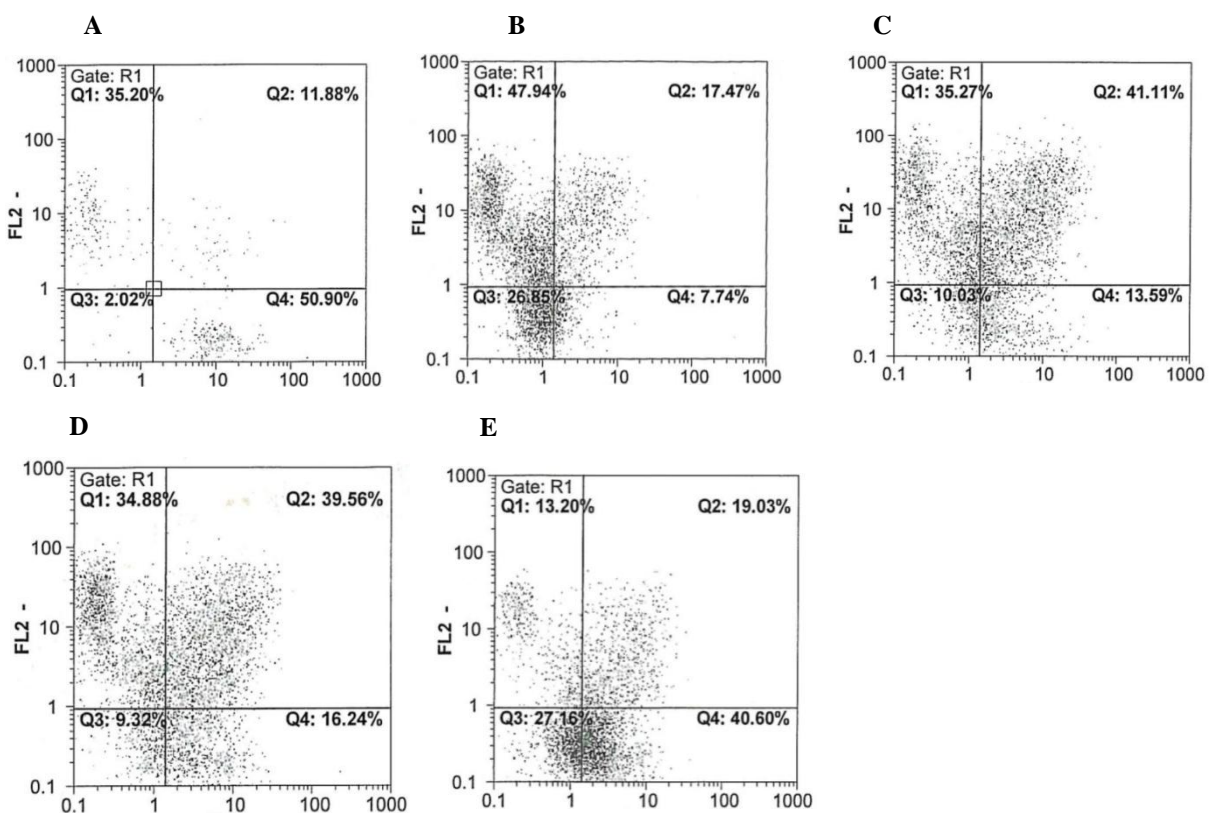
شکل ۱: همکشتی HSCs با MSCs در محیط کشت (x40).



نمودار ۱: اثر غلظت‌های مختلف TEPA بر توکسیسیتی و حیات سلول‌های بنیادی مزانشیمی با استفاده از سنجش MTT، رشد HSCs در حضور TEPA ۱۰  $\mu\text{M}$  به صورت معناداری بیشتر از سایر غلظت‌ها بود ( $p < 0.05$ ).



نمودار ۲: میانگین میزان چند برابر شدن پس از ۱۰ روز تکثیر در شرایط مختلف. ۲ A : میانگین میزان چند برابر شدن TNCs ، ۲ B : میانگین میزان چند برابر شدن سلول‌های CD34<sup>+</sup> ، ۲ C : میانگین میزان چند برابر شدن سلول‌های CD34<sup>+</sup>CD38<sup>-</sup> ۲ D : میانگین میزان چند برابر شدن سلول‌های CFU-C . شرایط کشت اول (۱)، تنها در بردارنده سایتوکاین‌ها بود. شرایط کشت دوم (۲)، در بردارنده MSCs به عنوان لایه فیدر و سایتوکاین‌ها بود. شرایط کشت سوم (۳)، در بردارنده سایتوکاین‌ها و TEPA بود. شرایط کشت چهارم (۴)، در بردارنده MSCs به عنوان لایه فیدر، سایتوکاین‌ها و TEPA بود. تفاوت‌های معناداری بین شرایط کشت مختلف مشاهده گردید ( $p < 0.05$ ).



شکل ۲: آنالیز بیان CD34 و CD38 در سلول‌های بنیادی خونساز قبل و پس از ۱۰ روز تکثیر در شرایط مختلف. FL1: بیانگر CD34<sup>+</sup>؛ FL2: بیانگر CD38<sup>+</sup>. ۲A: قبل از کشت (زمان صفر)؛ ۲B: شرایط کشت اول؛ ۲C: شرایط کشت دوم؛ ۲D: شرایط کشت سوم؛ ۲E: شرایط کشت چهارم.

توجهی افزایش یافت ( $p < 0.05$ ). میانگین میزان چند برابر شدن TNCs، سلول‌های CD34<sup>+</sup> و CFU-C به ترتیب  $118/5 \pm 21/87$ ،  $110/11 \pm 15/3$  و  $44/7 \pm 42/9$  بود. شرایط کشت مختلف به موازات هم با یکدیگر مقایسه شدند. تعداد ارزیابی CD34<sup>+</sup> cells، TNCs و CFU-C در روز دهم کشت مورد ارزیابی و مقایسه قرار گرفت (شکل ۱ و نمودار ۲).

آنالیز فلوسایتومنتری پس از تکثیر در این مطالعه بیان مارکرهای CD34 و CD38 توسط فلوسایتومنتری ارزیابی شد. در شرایط کشت چهارم، سلول‌های بیشتری با فنوتیپ ابتدایی تر ( $p < 0.05$ )،  $4/86 \pm 39/7\%$  در مقایسه با سه شرایط کشت دیگر یافت شد (شکل ۲).

شرایط کشت دوم؛ در این شرایط اثر MSCs بر روی تکثیر TNCs، سلول‌های CFU-C و CD34<sup>+</sup> در سینرژی با سایتوکاین‌ها مورد مطالعه قرار گرفت. میانگین میزان چند برابر شدن آن‌ها به ترتیب  $11/4 \pm 15/2$ ،  $62 \pm 40/6$  و  $58/5 \pm 44/5$  و  $78/6 \pm 18/8$  بود.

شرایط کشت سوم؛ به منظور ارزیابی اثر کاهش مس بر میزان تکثیر سلولی، سلول‌ها با TEPA تیمار شدند. میانگین میزان چند برابر شدن TNCs، سلول‌های CD34<sup>+</sup> و CFU-C به ترتیب  $58/94 \pm 44/45$  و  $15/4 \pm 8/8$  و  $52 \pm 8/8$  بود.

شرایط کشت چهارم؛ اثر همکشتی MSCs در سینرژی با سایتوکاین‌ها و TEPA بر روی تکثیر HSCs مورد ارزیابی قرار گرفت. پس از ۱۰ روز کشت، تعداد TNCs، سلول‌های CD34<sup>+</sup> و CFU-C در این شرایط به طور قابل

## بحث

امروز مهم برای حفظ stemness و HSCs ، امری قابل توجه بر روی عملکردها، فنتوپ، مهاجرت و پروفایل بیان ژنی HSCs در شرایط آزمایشگاهی دارد(۴۶-۴۹) .

آلاکل و همکاران نشان دادند که Non adherent HSCs از نظر عملکردها، فنتوپ و کلونی زایی با adherent HSCs متفاوت می باشند. آنها نشان دادند که فراکسیون سلولی چسبنده متشکل از سلولهای ابتدایی تر می باشد، از این رو MSCs دارای اثرات قابل توجهی بر روی HSCs در سیستم های آزمایشگاهی می باشند. HSCs ابتدایی تر دارای تمایل بیشتری به MSCs می باشند(۴۷). در شرایط کشت اول، بسیاری از سلولهای اولیه تمایز یافته و مارکر سطحی CD34 خود را از دست می دهند. از این رو MSCs جهت تکثیر HSCs ضروری می باشند.

مس در بسیاری از فرآیندهای سلولی از جمله تنظیم بیان ژن ها، عملکرد پروتئین ها و تکثیر و تمایز سلولی دخیل می باشد. با این حال به دلیل نقش آن در تولید گونه های فعال اکسیژن (ROSS) و افزایش مس سلولی، توکسیک می باشد(۴۸). در شرایطی که سلولهای CD34<sup>+</sup> در حضور سایتوکاین ها و TEPA (شرایط کشت سوم)، TNCs، کشت داده شده بودند افزایش میزان تکثیر ۵۲، ۴۴/۴۵ و ۴۴/۴۵ CFU-C و CD34<sup>+</sup> cells مشاهده شد (به ترتیب ۵۲، ۴۴/۴۵ و ۴۴/۴۵ برابر). هر چند میزان تکثیر در این شرایط بیشتر از شرایط کشت اول بود اما کمتر از تکثیر در شرایط دوم بود. احتمالاً کاهش تکثیر ناشی از غیاب cell-to-cell contact و سایتوکاین های مترشحه از MSCs می باشد. مشخص شده است که فرآیندهای تکثیر و تمایز (به صورت متقابل) هر دو تحت تاثیر میزان مس قرار می گیرند اما در مقایسه با تکثیر، تمایز در اولویت قرار دارد(۲۳). پلد و همکاران اثرات ۱۰  $\mu\text{M}$  TEPA را بر روی تکثیر سلولهای CD34<sup>+</sup>، مورد بررسی قرار دادند(۲۳-۲۵). در اولین مطالعه در سال ۲۰۰۱، این گروه اثرات TEPA، مس و سرولوپلاسمین را بر روی میزان مس سلولی و تکثیر سلولهای CD34<sup>+</sup> ارزیابی کردند. در کشت هایی که در حضور سایتوکاین ها و TEPA انجام شده بودند، تعداد سلولهای CFU-C و CD34<sup>+</sup> بیشتر و میزان مس

HSCs در ex vivo راه کار امید بخشی جهت اهداف تحقیقاتی و درمانی می باشد(۳۴-۳۶). در مطالعه های گذشته تلاش شده است تا تکثیر سلولهای CD34<sup>+</sup> در شرایط کشت، بهینه شود(۳۷). HSCs را می توان در محیط های کشت همراه با سایتوکاین ها تکثیر نمود اما این نوع از تکثیر همراه با تمایز می باشد(۳۸). در مطالعه های مختلف نشان داده است که لایه فیدر استروم ال قادر است از طریق ترشح فاکتورهای رشد و cell-to-cell contact ، از تکثیر HSCs حمایت کند(۳۹). از سوی دیگر در برخی مطالعه ها نیز نقش TEPA در افزایش تکثیر و کاهش تمایز سلولهای بنیادی هماتوپوئیتیک بند ناف بررسی شده است(۲۲-۲۵). به همین دلیل در این مطالعه بر آن شدیم تا اثرات هم زمان به عنوان لایه فیدر و شلاتور مس جهت کاهش غلظت یون مس را بر میزان تکثیر سلولهای بنیادی خونساز بند ناف بررسی کنیم. به دنبال کشت سلولهای CD34<sup>+</sup> در حضور سایتوکاین ها به تنها ی (شرایط کشت اول)، میانگین میزان چند برابر شدن CD34<sup>+</sup> cells و CFU-C و TNCs یافت (به ترتیب در حدود ۴۸، ۱۸/۷ و ۴۵/۵ برابر) اما این افزایش در مقایسه با سایر شرایط کشت قابل توجه نبود. این نتایج با نتایج مطالعه های قبلی مطابقت داشت(۴۰-۴۲). به منظور تایید نقش MSCs بر روی تکثیر HSCs خون بند ناف، سلولهای CD34<sup>+</sup> جدا شده، بر روی لایه فیدر سلولهای بنیادی مزانشیمی در حضور سایتوکاین ها کشت داده شدند(شرایط کشت دوم). میزان تکثیر شرایط کشت اول بود. مقایسه نتایج این دو شرایط کشت نشان می دهد که در طول کشت، MSCs باعث افزایش تکثیر TNCs و حفظ HSCs در حالت ابتدایی می شوند. مطالعه ها نشان داده اند که MSCs انواعی از سیگنانال ها (لیگاندهای چسبنده، سایتوکاین ها و پروتئین های ماتریکس خارج سلولی)، فاکتورهای رونویسی و مولکول های سیگنانال دهی را جهت تنظیم تکثیر، تمایز و بقای HSCs در بدن و در شرایط آزمایشگاهی فراهم می کنند(۴۳). به نظر می رسد تماس مستقیم بین

CD34<sup>+</sup>CD38<sup>-</sup> تکثیر بهتر و تمایز کمتری را نسبت به سایر شرایط کشت دارا می‌باشد. در واقع این مطالعه نشان داد که کاهش میزان مس درون سلولی با استفاده از TEPA در همکشتی قادر است سلول‌های CD34<sup>+</sup> را با کارایی بهتری در مقایسه با سایر شرایط تکثیر نماید. کاربرد ترکیبی در سال ۲۰۰۴ اثر TEPA بر تکثیر سلول‌های CD34<sup>+</sup> و هم‌چنین پتانسیل پیوند آن‌ها به موش‌های SCID را بررسی نمودند. نتایج آن‌ها نشان داد که TEPA موجب افزایش تکثیر سلول‌ها گردیده و از این رو توانایی پیوند را تعویت می‌کند (۲۴). هر چند مکانیسم عملکرد TEPA نامشخص است اما نشان داده شده است که TEPA میزان رادیکال‌های آزاد اکسیژن (ROS) و فعالیت سیتوکروم C اکسیداز (CCO) که برای حفظ HSCs در مغز استخوان ضروری هستند، را کاهش می‌دهد (۴۹، ۵۰). به علاوه در این مطالعه برای اولین بار سلول‌های CD34<sup>+</sup> در همکشتی با BM-MSCs به عنوان لایه فیدر و در حضور سایتوکاین‌ها و TEPA (شرایط کشت چهارم) کشت داده شدند. میانگین میزان چند برابر شدن TNCs, CD34<sup>+</sup>cells و CFU-C در این شرایط به ترتیب ۱۱۸/۵، ۱۱۰/۱۱ و ۱۷۲/۹ بود.

### نتیجه‌گیری

با توجه به نتایج به دست آمده از این مطالعه، اثر هم زمان سلول‌های بنیادی مزانشیمی به عنوان لایه فیدر و کاهش یون مس جهت افزایش تعداد سلول‌های بنیادی خونساز و حفظ پتانسیل کلونی‌زایی آن‌ها در شرایط آزمایشگاهی مؤثر می‌باشد.

### تشکر و قدردانی

این تحقیق حاصل پایان نامه کارشناسی ارشد هماتولوژی است و در مرکز تحقیقات مؤسسه عالی آموزشی و پژوهشی طب انتقال خون تهران و با حمایت مالی دانشگاه علوم پزشکی تهران و مؤسسه عالی آموزشی و پژوهشی طب انتقال خون تهران به انجام رسیده است.

سلولی کمتر بود و در مقایسه با کشت‌هایی که تنها در حضور همان سایتوکاین‌ها انجام شده بودند با تأخیر در تمایز همراه بودند، در حالی که کشت‌های تیمار شده با مس نتایج بالعکسی را نشان دادند (۲۳). نتایج ما با این نتایج نیز مطابقت داشت. پل و همکاران در مطالعه‌ای دیگر در سال ۲۰۰۴ اثر TEPA بر تکثیر سلول‌های CD34<sup>+</sup> و هم‌چنین پتانسیل پیوند آن‌ها به موش‌های SCID را بررسی نمودند. نتایج آن‌ها نشان داد که TEPA موجب افزایش تکثیر سلول‌ها گردیده و از این رو توانایی پیوند را تعویت می‌کند (۲۴). هر چند مکانیسم عملکرد TEPA نامشخص است اما نشان داده شده است که TEPA میزان رادیکال‌های آزاد اکسیژن (ROS) و فعالیت سیتوکروم C اکسیداز (CCO) که برای حفظ HSCs در مغز استخوان ضروری هستند، را کاهش می‌دهد (۴۹، ۵۰). به علاوه در این مطالعه برای اولین بار سلول‌های CD34<sup>+</sup> در همکشتی با TEPA به عنوان لایه فیدر و در حضور سایتوکاین‌ها و (شرایط کشت چهارم) کشت داده شدند. میانگین میزان چند برابر شدن HSCs در شرایط کشت مختلف نشان داد که در شرایط کشت چهارم، سلول‌های

### References:

- Conrad PD, Emerson SG. *Ex vivo* expansion of hematopoietic cells from umbilical cord blood for clinical transplantation. *J Leukoc Biol* 1998; 64(2): 147-55.
- Lim M, Ye H, Panoskaltsis N, Drakakis EM, Yue X, Cass AE. Intelligent bioprocessing for haemotopoietic cell cultures using monitoring and design of experiments. *Biotechnol Adv* 2007; 25(4): 353-68.
- Gordon MY. Stem cells for regenerative medicine-- biological attributes and clinical application. *Exp Hematol* 2008; 36(6): 726-32.
- Reya T, Morrison SJ, Clarke MF, Weissman IL. Stem cells, cancer, and cancer stem cells. *Nature* 2001; 414(6859): 105-11.
- Kondo M, Wagers AJ, Manz MG, Prohaska SS, Scherer DC, Beilhack GF, et al. Biology of hematopoietic stem cells and progenitors: implications for clinical application. *Annu Rev Immunol* 2003; 21: 759-806.
- Lane TA. Umbilical cord blood grafts for hematopoietic transplantation in adults: a cup half empty or half full? *Transfusion* 2005; 45(6): 1027-34.
- Gluckman E, Rocha V, Chevret S. Results of unrelated umbilical cord blood hematopoietic stem cell transplantation. *Rev Clin Exp Hematol* 2001; 5(2): 87-99.
- Migliaccio AR, Adamson JW, Stevens CE, Dobrila NL, Carrier CM, Rubinstein P. Cell dose and speed of engraftment in placental/umbilical cord blood transplantation: graft progenitor cell content is a better predictor than nucleated cell quantity. *Blood* 2000; 96(8): 2717-22.
- Gilmore GL, DePasquale DK, Lister J, Shadduck RK. *Ex vivo* expansion of human umbilical cord blood and peripheral blood CD34(+) hematopoietic stem cells. *Exp Hematol* 2000; 28(11): 1297-305.
- Kelly SS, Sola CB, de Lima M, Shpall E. *Ex vivo* expansion of cord blood. *Bone Marrow Transplant* 2009; 44(10): 673-81.
- Yao CL, Chu IM, Hsieh TB, Hwang SM. A systematic

- strategy to optimize *ex vivo* expansion medium for human hematopoietic stem cells derived from umbilical cord blood mononuclear cells. *Exp Hematol* 2004; 32(8): 720-7.
- 12- Rocha V, Wagner JE Jr, Sobocinski KA, Klein JP, Zhang MJ, Horowitz MM, et al. Graft-versus-host disease in children who have received a cord-blood or bone marrow transplant from an HLA-identical sibling. Eurocord and International Bone Marrow Transplant Registry Working Committee on Alternative Donor and Stem Cell Sources. *N Engl J Med* 2000; 342(25): 1846-54.
  - 13- Shpall EJ, Quinones R, Giller R, Zeng C, Baron AE, Jones RB, et al. Transplantation of *ex vivo* expanded cord blood. *Biol Blood Marrow Transplant* 2002; 8(7): 368-76.
  - 14- Sorrentino BP. Clinical strategies for expansion of haematopoietic stem cells. *Nat Rev Immunol* 2004; 4(11): 878-88.
  - 15- Martinez-Agosto JA, Mikkola HK, Hartenstein V, Banerjee U. The hematopoietic stem cell and its niche: a comparative view. *Genes Dev* 2007; 21(23): 3044-60.
  - 16- Calvi LM, Adams GB, Weibrich KW, Weber JM, Olson DP, Knight MC, et al. Osteoblastic cells regulate the haematopoietic stem cell niche. *Nature* 2003; 425(6960): 841-6.
  - 17- Robinson S, Niu T, de Lima M, Ng J, Yang H, McMannis J, et al. *Ex vivo* expansion of umbilical cord blood. *Cyotherapy* 2005; 7(3): 243-50.
  - 18- Gottschling S, Saffrich R, Seckinger A, Krause U, Horsch K, Miesala K, et al. Human mesenchymal stromal cells regulate initial self-renewing divisions of hematopoietic progenitor cells by a beta1-integrin-dependent mechanism. *Stem Cells* 2007; 25(3): 798-806.
  - 19- Jing D, Fonseca AV, Alakel N, Fierro FA, Muller K, Bornhauser M, et al. Hematopoietic stem cells in co-culture with mesenchymal stromal cells--modeling the niche compartments in vitro. *Haematologica* 2010; 95(4): 542-50.
  - 20- Breems DA, Blokland EA, Siebel KE, Mayen AE, Engels LJ, Ploemacher RE. Stroma-contact prevents loss of hematopoietic stem cell quality during *ex vivo* expansion of CD34+ mobilized peripheral blood stem cells. *Blood* 1998; 91(1): 111-7.
  - 21- Blank U, Karlsson G, Karlsson S. Signaling pathways governing stem-cell fate. *Blood* 2008; 111(2): 492-503.
  - 22- Huang X, Pierce LJ, Cobine PA, Winge DR, Spangrude GJ. Copper modulates the differentiation of mouse hematopoietic progenitor cells in culture. *Cell Transplant* 2009; 18(8): 887-97.
  - 23- Peled T, Landau E, Prus E, Treves AJ, Nagler A, Fibach E. Cellular copper content modulates differentiation and self-renewal in cultures of cord blood-derived CD34+ cells. *Br J Haematol* 2002; 116(3): 655-61.
  - 24- Peled T, Landau E, Mandel J, Glukhman E, Goudsmid NR, Nagler A, et al. Linear polyamine copper chelator tetraethylenepentamine augments long-term *ex vivo* expansion of cord blood-derived CD34+ cells and increases their engraftment potential in NOD/SCID mice. *Exp Hematol* 2004; 32(6): 547-55.
  - 25- Peled T, Glukhman E, Hasson N, Adi S, Assor H, Yudin D, et al. Chelatable cellular copper modulates differentiation and self-renewal of cord blood-derived hematopoietic progenitor cells. *Exp Hematol* 2005; 33(10): 1092-100.
  - 26- Percival SS, Layden-Patrice M. HL-60 cells can be made copper deficient by incubating with tetraethylenepentamine. *J Nutr* 1992; 122(12): 2424-9.
  - 27- Bae B, Percival SS. Copper uptake and intracellular distribution during retinoic acid-induced differentiation of HL-60 Cells. *Journal of Nutritional Biochemistry* 1994; 5(9): 457-61.
  - 28- Yang Sh, Cai H, Jin H, Fan J, Tan WS. Hematopoietic Reconstitution of CD34+ Cells Derived from Short-term Cultured Cord Blood Mononuclear Cells. *Biotechnology and Bioprocess Engineering* 2009; 14(4): 429-35.
  - 29- Oswald J, Boxberger S, Jørgensen B, Feldmann S, Ehninger G, Bornhäuser M, et al. Mesenchymal stem cells can be differentiated into endothelial cells in vitro. *Stem Cells* 2004; 22(3): 377-84.
  - 30- Raval BP, Suthar MP, Patel RK. In-vitro cytotoxicity screening of *Symplocos racemosa* plant extract by MTT assay. *International Journal of Pharmaceutical Research*. 2009; 1(1): 31-5.
  - 31- Robinson SN, Ng J, Niu T, Yang H, McMannis JD, Karandish S, et al. Superior *ex vivo* cord blood expansion following co-culture with bone marrow-derived mesenchymal stem cells. *Bone Marrow Transplant* 2006; 37(4): 359-66.
  - 32- Almeida-Porada G, Brown RL, MacKintosh FR, Zanjani ED. Evaluation of serum-free culture conditions able to support the *ex vivo* expansion and engraftment of human hematopoietic stem cells in the human-to-sheep xenograft model. *J Hematother Stem Cell Res* 2000; 9(5): 683-93.
  - 33- Jang YK, Jung DH, Jung MH, Kim DH, Yoo KH, Sung KW, et al. Mesenchymal stem cells feeder layer from human umbilical cord blood for *ex vivo* expanded growth and proliferation of hematopoietic progenitor cells. *Ann Hematol* 2006; 85(4): 212-25.
  - 34- Bachier CR, Gokmen E, Teale J, Lanzkron S, Childs C, Franklin W, et al. Ex-vivo expansion of bone marrow progenitor cells for hematopoietic reconstitution following high-dose chemotherapy for breast cancer. *Exp Hematol* 1999; 27(4): 615-23.
  - 35- Weissman IL. Translating stem and progenitor cell biology to the clinic: barriers and opportunities. *Science* 2000; 287(5457): 1442-6.
  - 36- Broxmeyer HE, Douglas GW, Hangoc G, Cooper S, Bard J, English D, et al. Human umbilical cord blood as a potential source of transplantable hematopoietic stem/progenitor cells. *Proc Natl Acad Sci U S A* 1989; 86(10): 3828-32.
  - 37- da Silva CL, Gonçalves R, Crapnell KB, Cabral JM, Zanjani ED, Almeida-Porada G. A human stromal-based serum-free culture system supports the *ex vivo* expansion/maintenance of bone marrow and cord blood hematopoietic stem/progenitor cells. *Exp Hematol* 2005; 33(7): 828-35.
  - 38- Köhler T, Plettig R, Wetzstein W, Schaffer B, Ordemann R, Nagels HO, et al. Defining optimum conditions for the *ex vivo* expansion of human umbilical cord blood cells. Influences of progenitor

- enrichment, interference with feeder layers, early-acting cytokines and agitation of culture vessels. *Stem Cells* 1999; 17(1): 19-24.
- 39- Ye ZQ, Burkholder JK, Qiu P, Schultz JC, Shahidi NT, Yang NS. Establishment of an adherent cell feeder layer from human umbilical cord blood for support of long-term hematopoietic progenitor cell growth. *Proc Natl Acad Sci U S A* 1994; 91(25): 12140-4.
- 40- Xie CG, Wang JF, Xiang Y, Jia BB, Qiu LY, Wang LJ, et al. Marrow mesenchymal stem cells transduced with TPO/FL genes as support for *ex vivo* expansion of hematopoietic stem/progenitor cells. *Cell Mol Life Sci* 2005; 62(21): 2495-507.
- 41- Xie CG, Wang JF, Xiang Y, Qiu LY, Jia BB, Wang LJ, et al. Cocultivation of umbilical cord blood CD34+ cells with retro-transduced hMSCs leads to effective amplification of long-term culture-initiating cells. *World J Gastroenterol* 2006; 12(3): 393-402.
- 42- Kögler G, Callejas J, Sorg RV, Fischer J, Migliaccio AR, Wernet P. The effect of different thawing methods, growth factor combinations and media on the *ex vivo* expansion of umbilical cord blood primitive and committed progenitors. *Bone Marrow Transplant* 1998; 21(3): 233-41.
- 43- Verfaillie CM. Hematopoietic stem cells for transplantation. *Nat Immunol* 2002; 3(4): 314-7.
- 44- Alakel N, Jing D, Muller K, Bornhauser M, Ehninger G, Ordemann R. Direct contact with mesenchymal stromal cells affects migratory behavior and gene expression profile of CD133+ hematopoietic stem cells during *ex vivo* expansion. *Exp Hematol* 2009; 37(4): 504-13.
- 45- Wilson A, Trumpp A. Bone-marrow haematopoietic-stem-cell niches. *Nat Rev Immunol* 2006; 6(2): 93-106.
- 46- Gottschling S, Saffrich R, Seckinger A, Krause U, Horsch K, Miesala K, et al. Human mesenchymal stromal cells regulate initial self-renewing divisions of hematopoietic progenitor cells by a beta1-integrin-dependent mechanism. *Stem Cells* 2007; 25(3): 798-806.
- 47- Wagner W, Wein F, Roderburg C, Saffrich R, Faber A, Krause U, et al. Adhesion of hematopoietic progenitor cells to human mesenchymal stem cells as a model for cell-cell interaction. *Exp Hematol* 2007; 35(2): 314-25.
- 48- Leary SC, Winge DR. The Janus face of copper: its expanding roles in biology and the pathophysiology of disease. Meeting on Copper and Related Metals in Biology. *EMBO Rep* 2007; 8(3): 224-7.
- 49- Chen CT, Shih YR, Kuo TK, Lee OK, Wei YH. Coordinated changes of mitochondrial biogenesis and antioxidant enzymes during osteogenic differentiation of human mesenchymal stem cells. *Stem Cells* 2008; 26(4): 960-8.
- 50- Ito K, Hirao A, Arai F, Matsuoka S, Takubo K, Hamaguchi I, et al. Regulation of oxidative stress by ATM is required for self-renewal of haematopoietic stem cells. *Nature* 2004; 431(7011): 997-1002.

*Original Article*

## Evaluation of Umbilical Cord Blood CD34<sup>+</sup> Hematopoietic Stem Cell Expansion in Co-culture with BM Mesenchymal Stem Cells in Presence of TEPA

*Amirizadeh N.<sup>1</sup>, Zaker F.<sup>2</sup>, Nasiri N.<sup>3</sup>*

<sup>1</sup>Blood Transfusion Research Center, High Institute for Research and Education in Transfusion Medicine, Tehran, Iran

<sup>2</sup>School of Allied Medical Sciences, Iran University of Medical Sciences, Tehran, Iran

<sup>3</sup>Tehran University of Medical Sciences, Tehran, Iran

### **Abstract**

#### **Background and Objectives**

Hematopoietic stem cells (HSCs) have become a standard protocol for the treatment of many hematologic malignancies and non-malignant disorders. Umbilical cord blood, as a source of HSCs, has many advantages compared to other sources. One major drawback in using this source in transplantation is the low HSC dose available. *Ex vivo* expansion of HSCs is a solution to overcome this limitation. In this study, we used TEPA, as a Cu chelator, and human bone marrow MSCs to investigate the expansion rate of UCB-HSCs.

#### **Materials and Methods**

CB-HSCs were isolated using miniMACS magnetic separation system. We cultured the enriched CD34<sup>+</sup> cells in various conditions. Culture condition A, supplemented only with recombinant cytokines; culture condition B, supplemented with BM-MSCs as a cell feeder layer and recombinant cytokines; culture condition C, supplemented with recombinant cytokines and TEPA; culture condition D, supplemented with recombinant cytokines, BM-MSCs as a cell feeder layer and TEPA. In order to evaluate the HSC expansion, we performed cell count, the analysis of CD34<sup>+</sup> expression by flow cytometry, and CFU assay on day 10 after culture.

#### **Results**

The most fold increase rate in CD34<sup>+</sup> cell, TNCs and CFU-C was observed in the culture condition D ( $110.11 \pm 15.3$ ,  $118.5 \pm 21$  and  $172.9 \pm 44.7$ , respectively) compared to other conditions.

#### **Conclusions**

The results showed that co-culture of HSCs with BM-MSCs in the presence of copper chelating agent (TEPA) could dramatically increase the expansion rate of UCB-HSCs. Therefore, this strategy could be useful for HSC expansion.

**Key words:** Hematopoietic Stem Cells, Mesenchymal Stromal Cells, TEPA

*Received: 23 Jan 2012*

*Accepted: 10 Apr 2013*

---

*Correspondence:* Nasiri N., MSc of Hematology. School of Allied Medical Sciences, Tehran University of Medical Sciences.

P.O.Box: 14155-6183, Tehran, Iran. Tel: (+9821) 88622576; Fax: (+9821) 88622576  
E-mail: nahid.nasiri64@yahoo.com